

Рисунок 4 – График колебания струны при $t = 0; t = \frac{T}{4}; t = \frac{T}{2}; x[0; 0.2], n = 1$

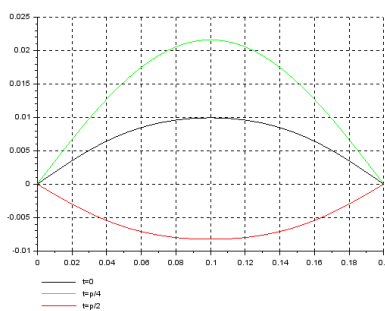


Рисунок 5 – График колебания струны при $t = 0; t = \frac{T}{4}; t = \frac{T}{2}; x[0; 0.2], n = 3$

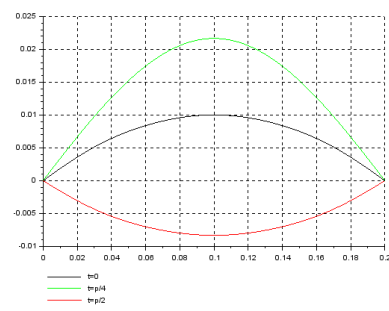


Рисунок 6 – График колебания струны при $t = 0; t = \frac{T}{4}; t = \frac{T}{2}; x[0; 0.2], n = 5$

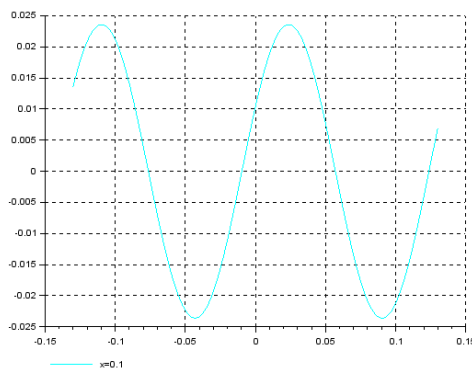


Рисунок 7 – График колебания струны при $t = [-0.13; 0.13]; x = 0.1, n = 1$

Таким образом в любой момент времени t , в любой части струны, мы можем узнать ее форму.

В.П. Каруханов (ГГТУ имени П.О. Сухого, Гомель)
 Науч. рук. **В.Ю. Гавриш**, ст. преподаватель

МОДЕЛИРОВАНИЕ ДВИЖЕНИЕ ЗАРЯДА В ПОСТОЯННОМ ЭЛЕКТРОМАГНИТНОМ ПОЛЕ

Введение. Изучение физических свойств элементарных частиц связано с моделированием их движения. Особенно большое практическое значение подобные исследования имеют для ускорителей, в которых потоки частиц ускоряются внешним электрическим и магнитным полями.

Цель данной работы – продемонстрировать, как без учета квантово-механических эффектов при различных параметрах смоделировать движение частиц во внешнем электромагнитном поле.

Движение частицы в электромагнитном поле. Моделирование движения частицы заряда q массой m проведем в электромагнитном поле с компонентами

$$\vec{E} = \{0, E_y, E_z\}, \quad \vec{H} = \{0, 0, H_z\} \quad (1)$$

(такой выбор направления полей обусловлен дальнейшим решением поставленной задачи). В таком случае уравнения движения частицы

$$m \dot{\vec{v}} = e \vec{E} + \frac{q}{c} [\vec{v} \vec{H}] \quad (2)$$

запишутся в виде [1]

$$\begin{aligned} m \ddot{x} &= \frac{q}{c} \dot{y} H_z, \\ m \ddot{y} &= q E_y - \frac{q}{c} x \dot{H}_z, \end{aligned} \quad (3)$$

$$m \ddot{z} = q E_z.$$

Из последнего уравнения системы (3) посредством интегрирования нетрудно получить, что

$$z(t) = \frac{q E_z}{2m} t^2 + v_{0z} t, \quad (4)$$

т.е. частица движется равноускоренно.

Для решения оставшихся уравнений второе уравнение системы (3) умножим на i и сложим с первым:

$$\ddot{x} + i \ddot{y} = \frac{q}{c} \dot{y} H_z + i q E_y - i \frac{q}{c} x \dot{H}_z, \quad (5)$$

или, упрощая, получим

$$(\ddot{x} + i \ddot{y}) + i \omega (\dot{x} + i \dot{y}) = i \frac{q}{m} E_y, \quad (6)$$

где $\omega = qH/mc$. Рассматривая $\dot{x} + i \dot{y}$ как неизвестное, решение уравнения (6) будем искать как сумму решений данного уравнения с правой частью и без: после нетрудных вычислений имеем, соответственно

$$\dot{x} + i \dot{y} = a e^{i\omega t} + \frac{c E_y}{H_z}, \quad (7)$$

где a – некоторая комплексная неизвестная.

Отделяя действительную и мнимую часть уравнения (7), получаем

$$x = a \cos(\omega t) + c \frac{E_y}{H_z}, \quad \dot{y} = -a \sin(\omega t)$$

(8) или, повторно интегрируя при условии, что $x(0) = y(0) = 0$ из (8) получаем [2]

$$x = \frac{a}{\omega} \sin(\omega t) + c \frac{E_y}{H_z} t,$$

$$y = \frac{a}{\omega} (\sin(\omega t) - 1). \quad (9)$$

Анализ уравнений (9) показывает, что в зависимости от значения параметра a форма траектории частицы меняется; данную зависимость мы и исследуем.

Параметры моделирования. Подбирая параметр a так, чтобы

$$|a| > \frac{cE_y}{H_z} \quad (10)$$

получаем следующую траекторию движения частицы заряда q и массы m :

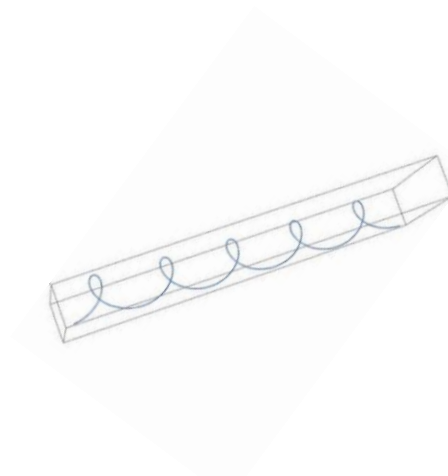


Рисунок 1 – Траектория движения частицы в случае $|a| > \frac{cE_y}{H_z}$

В случае

$$|a| < \frac{cE_y}{H_z}, \quad (11)$$

соответственно, получаем:

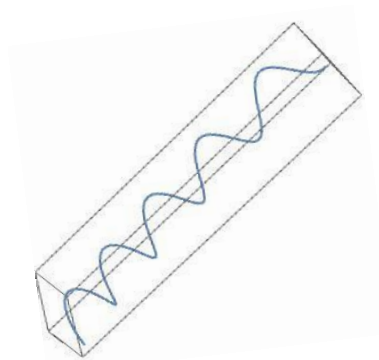


Рисунок 2 – Траектория движения частицы в случае $|a| < \frac{cE_y}{H_z}$

Заключение. Работа посвящена моделированию движения заряженных частиц во внешнем магнитном поле. В ходе работы была показана процедура решения уравнений движения заряженных частиц в электромагнитном поле с последующим моделированием движения при различных параметрах.

Авторы отмечают, что полученные результаты моделирования согласуются с известными результатами [3], что подтверждает достоверность проведенного исследования.

Литература

1. Ландау, Л.Д. Теоретическая физика: учеб. пособ. для вузов в 10 т.: Т. 2. Теория поля / Л.Д. Ландау, Е.М. Лифшиц. – Москва: Физматлит. – 2006. – 586 с.
2. Медведев, Б.В. Начала теоретической физики / Б.В. Медведев. – Москва: Наука. – 1977. – 496 с.
3. Савельев И.В. Основы теоретической физики: учебник: в 2 томах. Т. 1. Механика. Электродинамика / И.В. Савельев. – Спб.: Издательство «Лань». – 2005. – 496 с.

М.Д. Качан (ГрГУ имени Я.Купалы, Гродно)
 Науч.рук. **В.А. Лиопо**, д-р физ.-мат. наук, профессор

СУПЕРЯЧЕЙКА ОБРАТНОЙ РЕШЕТКИ КРИСТАЛЛОВ

Ячейке кристалла с параметрами $(a, b, c, \alpha, \beta, \gamma) = (a_j^0 \alpha_j^0)_{j=1,2,3}$ сопоставляется ячейка, которая описывает обратную решетку кристалла с параметрами $(a^*, b^*, c^*, \alpha^*, \beta^*, \gamma^*) = (a_j^* \alpha_j^*)_{j=1,2,3}$. Параметры этих ячеек:

$$a_j^{*(0)} = \frac{a_{j+1}^{0(*)} a_{j+2}^{0(*)} \sin \alpha_j^{0(*)}}{V^{0(*)}}, \quad (1)$$

$$\sin \alpha_j^{0(*)} = \frac{r^{0(*)}}{\sin \alpha_{j+1}^{0(*)} \sin \alpha_{j+2}^{0(*)}}, \quad (2)$$

где

$$r^{0(*)} = (1 - \cos^2 \alpha^{0(*)} \cos^2 \beta^{0(*)} \cos^2 \gamma^{0(*)} + 2 \cos^2 \alpha^{0(*)} \cos^2 \beta^{0(*)} \cos^2 \gamma^{0(*)})^{1/2},$$

где

$V^{0(*)}$ - объемы прямой (обратной) ячеек.

Определяемые по формуле:

$$V^{0(*)} = a^{*(0)} b^{*(0)} c^{*(0)} r^{*(0)}. \quad (3)$$